



Mecânica do Voo

Regime permanente



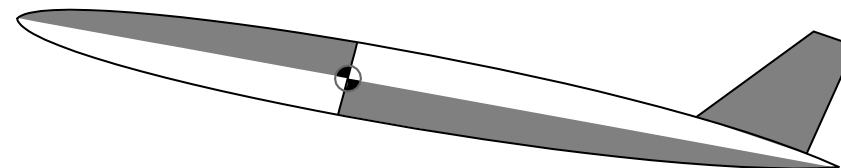


Referências Bibliográficas

- STEVENS, Brian L.; LEWIS, Frank L. Aircraft control and simulation. 2nd ed. Hoboken: John Wiley & Sons, 2003

Modelo desacoplado

- Pode-se separar o vetor de estados do avião em duas partes:
- Movimento longitudinal – avião visto “de lado”
 - Sobe e desce
 - Acelera e freia
 - Estados: V_T, α, θ, Q
 - Atuadores: propulsão e profundor
- Movimento látero-direcional – avião visto “de cima”
 - Faz curvas no plano horizontal, efetua rolamento
 - Estados: β, ϕ, ψ, P, R
 - Atuadores: aileron e leme
- Obs: posição nos 3 eixos ignorados
- Sob algumas condições, movimentos são desacoplados, ou seja, podem ser calculados e avaliados independentemente





Modelo não linear de 6 graus de liberdade

- Relembrando o modelo não linear no sistema do vento

$$m\dot{V}_T = F_T \cos \alpha \cos \beta - D + mg_1$$

$$m\dot{\beta}V_T = -F_T \cos \alpha \sin \beta + Y - mV_T R_W + mg_2$$

$$m\dot{\alpha}V_T \cos \beta = -F_T \sin \alpha - L + mV_T Q_W + mg_3,$$

$$g_1 = g'_0(-\cos \alpha \cos \beta \sin \theta + \sin \beta \sin \phi \cos \theta + \sin \alpha \cos \beta \cos \phi \cos \theta)$$

$$g_2 = g'_0(\cos \alpha \sin \beta \sin \theta + \cos \beta \sin \phi \cos \theta - \sin \alpha \sin \beta \cos \phi \cos \theta)$$

$$g_3 = g'_0(\sin \alpha \sin \theta + \cos \alpha \cos \phi \cos \theta).$$



Voo nivelado e sem derrapagem

- Voo em cruzeiro (etapa principal do voo):
- Voa-se em linha reta ($R = 0$)
- Com asas niveladas ($P = 0$, $\phi = 0$)
- Com ângulo de derrapagem desprezível ($\beta = 0$)
- Então:

$$g_1 = g'_0(-\cos \alpha \cos \beta \sin \theta + \sin \beta \sin \phi \cos \theta + \sin \alpha \cos \beta \cos \phi \cos \theta)$$

$$g_2 = g'_0(\cos \alpha \sin \beta \sin \theta + \cos \beta \sin \phi \cos \theta - \sin \alpha \sin \beta \cos \phi \cos \theta)$$

$$g_3 = g'_0(\sin \alpha \sin \theta + \cos \alpha \cos \phi \cos \theta).$$

- Se torna:

$$g_1 = -g'_0 \sin(\theta - \alpha) = -g'_0 \sin(\gamma)$$

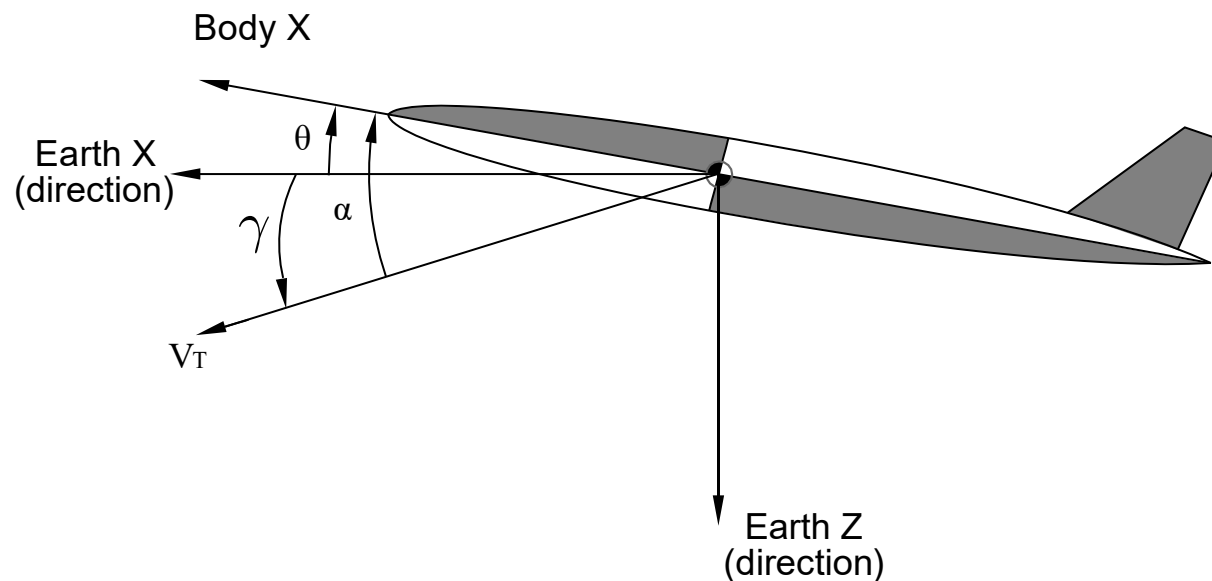
$$g_2 = 0$$

$$g_3 = g'_0 \cos(\theta - \alpha) = g'_0 \cos(\gamma)$$

- Em que $\gamma|_{\phi=\beta=0} = \theta - \alpha$

Voo nivelado e sem derrapagem

- γ : flight path angle, ou ângulo de subida. Na figura, $\gamma < 0$
- $\gamma = \arcsin \frac{-V_D}{V_T}$
- V_D : Velocidade na vertical para baixo



- Adaptado de:
- <https://upload.wikimedia.org/wikipedia/commons/e/ee/Longitudinal.svg>



Voo nivelado e sem derrapagem

- As equações de força:

$$m\dot{V}_T = F_T \cos \alpha \cos \beta - D + mg_1$$

$$m\dot{\beta}V_T = -F_T \cos \alpha \sin \beta + Y - mV_T R_W + mg_2$$

$$m\dot{\alpha}V_T \cos \beta = -F_T \sin \alpha - L + mV_T Q_W + mg_3,$$

- Se tornam:

$$m\dot{V}_T = F_T \cos \alpha - D - mg'_0 \sin \gamma$$

$$m\dot{\beta}V_T = Y - mV_T R_W$$

$$m\dot{\alpha}V_T = -F_T \sin \alpha - L + mV_T Q_W + mg'_0 \cos \gamma$$

Voo nivelado e sem derrapagem

- Com $\beta = 0$, $Q_w = Q$ (ver figura)

- A equação

$$\dot{\theta} = Q \cos \phi - R \sin \phi$$

- É simplificada para: $\dot{\theta} = Q$

- Assim:

$$m\dot{\alpha}V_T = -F_T \sin \alpha - L + mV_T Q_w + mg'_0 \cos \gamma$$

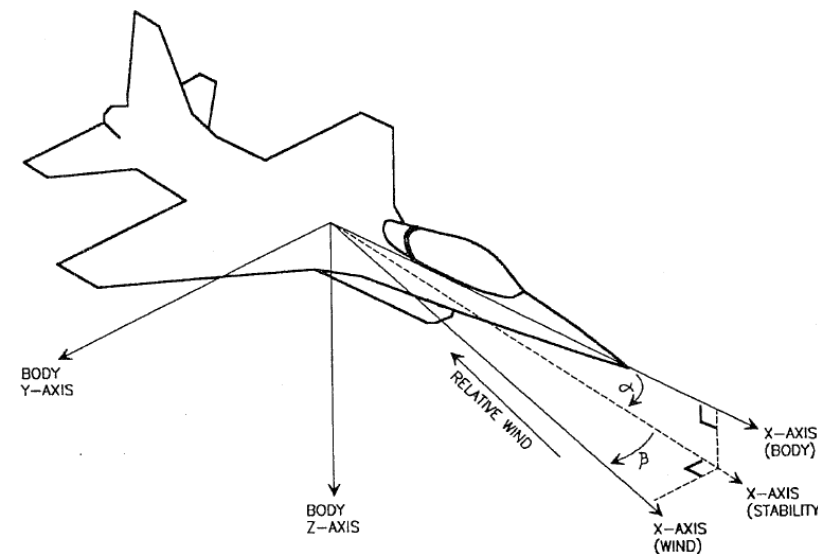
$$m\dot{\alpha}V_T = -F_T \sin \alpha - L + mV_T \dot{\theta} + mg'_0 \cos \gamma$$

$$m(\dot{\alpha} - \dot{\theta})V_T = -F_T \sin \alpha - L + mg'_0 \cos \gamma$$

$$m\dot{\gamma}V_T = F_T \sin \alpha + L - mg'_0 \cos \gamma$$

- E $J_y \dot{Q} = (J_z - J_x)PR - J_{xz}(P^2 - R^2) + M$ com $P = R = 0$, fica

$$\dot{Q} = M/J_Y$$



Voo nivelado e sem derrapagem

- Movimento longitudinal: $x_{\text{long}} = [V_T \ \alpha \ \theta \ Q]^T$

- Veja que:

$$m\dot{V}_T = F_T \cos \alpha - D - mg'_0 \sin \gamma$$

$$m\dot{\alpha}V_T = -F_T \sin \alpha - L + mV_T Q_w + mg'_0 \cos \gamma$$

$$\dot{\theta} = Q$$

$$\dot{Q} = M/J_Y$$

- Calcula os valores de \dot{x}_{long} sem depender dos estados látero-direcionais:

$$x_{\text{lat-dir}} = [\beta \ \phi \ \psi \ P \ R]$$

- Assim, obteve-se um modelo não linear desacoplado para o movimento longitudinal. Essa abordagem, entretanto, não funciona bem para o movimento látero-direcional.
- Veremos uma abordagem diferente: linearização



Linearização: introdução

- Para simular, o modelo não-linear é ideal
- Para análise de performance e estabilidade, e projeto de sistemas de controle, é mais fácil trabalhar com um modelo linearizado
- Linearização pode ser:
 - Algébrica: trabalhosa, muito restrita, pouco prática. Entretanto é didática
 - Numérica: software como Matlab pode fornecer facilmente. Entretanto, sem a análise algébrica prévia, pode ser difícil dar interpretação física

Linearização

- Técnica algébrica:

Sistema em regime permanente (steady state)

Efeito de pequenas perturbações

- Equação implícita de espaço de estados:

$$f(\dot{X}, X, U) = 0$$

- Mais geral que:

$$\dot{X} = f(X, U)$$

- Ponto de equilíbrio: achar $X = X_e, U = U_e$ em que

$$f(\dot{X}, X, U) = 0, \quad \dot{X} = 0$$

- Ideia: sistema está “em repouso” – estados e sinal de controle não variam com o tempo.
- Análise de estabilidade: se perturbo levemente X e/ou U , sistema retorna ao repouso ou “move” na direção oposta?
- Ex: avião em voo nivelado. O que acontece se o piloto esbarra levemente no manche?



Linearização

- Sistema “em repouso”: tudo deve se manter constante. Porém, veja que:
 - Terra esférica e girante faz vetor gravidade mudar, respectivamente, de direção e magnitude conforme avião se move
 - Gravidade e pressão do ar variam com altitude
 - Vento variável
-
- Detalhes acima limitam demasiadamente a definição de repouso. Aproximações:
 - Terra plana (S_{NED} inercial): vetor gravidade constante, apontando para baixo
 - Variação de altitude limitada: magnitude da gravidade e pressão atmosférica constantes
 - Vento nulo ou constante

Linearização

- Com simplificações acima, a posição do avião não afeta o cálculo de qualquer outro estado
- Não é importante para a análise de estabilidade
- Portanto, será desconsiderada

Steady-State Flight:

$$\dot{P}, \dot{Q}, \dot{R}, \dot{U}, \dot{V}, \dot{W} \left(\text{or } \dot{V}_T, \dot{\beta}, \dot{\alpha} \right) \equiv 0, \quad U = \text{const.}$$

with the following additional constraints according to the flight condition:

Steady Wings-Level Flight: $\phi, \dot{\phi}, \dot{\theta}, \dot{\psi} \equiv 0 \quad (\because P, Q, R \equiv 0)$

Steady Turning Flight: $\dot{\phi}, \dot{\theta} \equiv 0, \quad \dot{\psi} \equiv \text{turn rate}$

Steady Pull-up: $\phi, \dot{\phi}, \dot{\psi} \equiv 0, \quad \dot{\theta} \equiv \text{pull-up rate}$

Steady Roll: $\dot{\theta}, \dot{\psi} \equiv 0, \quad \dot{\phi} \equiv \text{roll rate}$



Linearização

- $\dot{U}, \dot{V}, \dot{W} = 0$: Soma das forças igual a zero.
- $\dot{P}, \dot{Q}, \dot{R} = 0$: Soma dos momentos igual a zero.
- Achar o valor de $x = x_e, u = u_e$ para uma condição: trimagem
- Na prática, é facilmente conseguido por piloto ou sistema de controle
- Na teoria, envolve resolução de sistema não linear. Feito usualmente por métodos numéricos
 - Podem existir diversas soluções teóricas. A solução correta é obtida limitando corretamente os valores de cada variável no software de trimagem.



Linearização

- Reescrevendo $f(\dot{X}, X, U) = 0$ separando cada linha do vetor:

$$f_1(\dot{X}, X, U) = 0$$

$$f_2(\dot{X}, X, U) = 0$$

$$\vdots$$

$$f_9(\dot{X}, X, U) = 0$$

- Em que:

$$\mathbf{X}^T = [V_T \quad \beta \quad \alpha \quad \phi \quad \theta \quad \psi \quad P_w \quad Q_w \quad R_w]$$

$$\mathbf{U}^T = [\text{thl} \quad \text{el} \quad \text{ail} \quad \text{rdr}]$$

Linearização

- Expansão em série de Taylor de primeira ordem

$$\nabla_{\dot{\mathbf{X}}} f_1 \delta \dot{\mathbf{X}} + \nabla_{\mathbf{X}} f_1 \delta \mathbf{X} + \nabla_U f_1 \delta \mathbf{U} = 0$$

\vdots

$$\nabla_{\dot{\mathbf{X}}} f_9 \delta \dot{\mathbf{X}} + \nabla_{\mathbf{X}} f_9 \delta \mathbf{X} + \nabla_U f_9 \delta \mathbf{U} = 0$$

- Em que:

$$\nabla_{\mathbf{X}} f_i = \begin{bmatrix} \frac{\partial f_i}{\partial X_1} & \frac{\partial f_i}{\partial X_2} & \cdots & \frac{\partial f_i}{\partial X_n} \end{bmatrix}$$

- Veja que, por exemplo:

- $\nabla_{\mathbf{X}} f_1 \delta \mathbf{X} = \frac{\partial f_1}{\partial X_1} \delta X_1 + \cdots + \frac{\partial f_1}{\partial X_9} \delta X_9$

Linearização

- Sistema linearizado pode ser representado de forma linear:

$$E\dot{\mathbf{x}} = A\mathbf{x} + B\mathbf{u}$$

- \mathbf{x} e \mathbf{u} : perturbações adicionadas aos valores de equilíbrio

$$E = - \begin{bmatrix} \nabla_{\dot{\mathbf{x}}} f_1 \\ \vdots \\ \nabla_{\dot{\mathbf{x}}} f_9 \end{bmatrix}_{\substack{\mathbf{x}=\mathbf{x}_e \\ \mathbf{u}=\mathbf{u}_e}} \quad A = \begin{bmatrix} \nabla_{\mathbf{x}} f_1 \\ \vdots \\ \nabla_{\mathbf{x}} f_9 \end{bmatrix}_{\substack{\mathbf{x}=\mathbf{x}_e \\ \mathbf{u}=\mathbf{u}_e}} \quad B = \begin{bmatrix} \nabla_{\mathbf{u}} f_1 \\ \vdots \\ \nabla_{\mathbf{u}} f_9 \end{bmatrix}_{\substack{\mathbf{x}=\mathbf{x}_e \\ \mathbf{u}=\mathbf{u}_e}}$$

- Veja que, por exemplo $A\mathbf{x}$ é igual a:

$$A\mathbf{x} = \begin{bmatrix} \frac{\partial f_1}{\partial X_1} & \cdots & \frac{\partial f_1}{\partial X_9} \\ \vdots & \ddots & \vdots \\ \frac{\partial f_9}{\partial X_1} & \cdots & \frac{\partial f_9}{\partial X_9} \end{bmatrix} \begin{bmatrix} x_1 \\ \vdots \\ x_9 \end{bmatrix}$$

- A matriz de derivadas é chamada de jacobiano.



Linearização

- Se a matriz E for não singular:

$$E\dot{\mathbf{x}} = A\mathbf{x} + B\mathbf{u}$$

$$E^{-1}E\dot{\mathbf{x}} = E^{-1}A\mathbf{x} + E^{-1}B\mathbf{u}$$

$$\dot{\mathbf{x}} = A'\mathbf{x} + B'\mathbf{u}, \quad A' = E^{-1}A, \quad B' = E^{-1}B$$

- Que é sistema em espaço de estados com formato usual
- Caso avaliado: $\beta, \phi, P, Q, R \equiv 0$ all derivatives $\equiv 0$
- Simplificações usadas:
 - $\cos \beta$ e $\cos \phi$ são substituídos por 1 antes de derivar
 - Produto de dois ou mais termos nulos no ponto de equilíbrio são anulados antes de derivar

Linearização

- Seja:

$$m\dot{V}_T = F_T \cos \alpha \cos \beta - D + mg_1$$

$$m\dot{\beta}V_T = -F_T \cos \alpha \sin \beta + Y - mV_T R_W + mg_2$$

$$m\dot{\alpha}V_T \cos \beta = -F_T \sin \alpha - L + mV_T Q_W + mg_3,$$

- Então:

$$-\begin{bmatrix} \nabla_{\dot{X}} f_1 \\ \nabla_{\dot{X}} f_2 \\ \nabla_{\dot{X}} f_3 \end{bmatrix}_{\mathbf{X}=\mathbf{X}_e} = \begin{bmatrix} m\nabla_{\dot{X}} \dot{V}_T + \nabla_{\dot{X}} D \\ mV_T \nabla_{\dot{X}} \dot{\beta} - \nabla_{\dot{X}} Y \\ mV_T \nabla_{\dot{X}} \dot{\alpha} + \nabla_{\dot{X}} L \end{bmatrix}$$

- Assumiu-se que F_T independe das derivadas dos estados.
- Gravidade não depende de $\dot{V}_T, \dot{\alpha}, \dot{\beta}$ (apesar de depender de α, β)
- Forças D, Y, L podem variar com $\dot{V}_T, \dot{\alpha}, \dot{\beta}$
- Derivada de \dot{V}_T em relação a ele mesmo é 1
- Derivada de \dot{V}_T em relação a $\dot{\alpha}$ ou $\dot{\beta}$ é nula

$$\mathbf{X}^T = [V_T \quad \beta \quad \alpha \quad \phi \quad \theta \quad \psi \quad P_W \quad Q_W \quad R_W]$$

Linearização

$$\mathbf{X}^T = [V_T \quad \beta \quad \alpha \quad \phi \quad \theta \quad \psi \quad P_W \quad Q_W \quad R_W]$$
$$-\begin{bmatrix} \nabla_{\dot{X}} f_1 \\ \nabla_{\dot{X}} f_2 \\ \nabla_{\dot{X}} f_3 \end{bmatrix}_{\mathbf{X}=\mathbf{x}_e} = \begin{bmatrix} m\nabla_{\dot{X}} \dot{V}_T + \nabla_{\dot{X}} D \\ mV_T \nabla_{\dot{X}} \dot{\beta} - \nabla_{\dot{X}} Y \\ mV_T \nabla_{\dot{X}} \dot{\alpha} + \nabla_{\dot{X}} L \end{bmatrix}$$

- Veja que, por exemplo:

$$m\nabla_{\dot{X}} \dot{V}_T = m[1 \ 0 \ 0 \ 0 \ 0 \ 0 \ 0 \ 0 \ 0]$$

- E que, por exemplo:

$$\nabla_{\dot{X}} L = \left[\frac{\partial L}{\partial \dot{V}_T} \quad \frac{\partial L}{\partial \dot{\beta}} \quad \frac{\partial L}{\partial \dot{\alpha}} \quad \frac{\partial L}{\partial \dot{\phi}} \quad \frac{\partial L}{\partial \dot{\theta}} \quad \frac{\partial L}{\partial \dot{\psi}} \quad \frac{\partial L}{\partial \dot{P}_W} \quad \frac{\partial L}{\partial \dot{Q}_W} \quad \frac{\partial L}{\partial \dot{R}_W} \right]$$

- Se definirmos:

$$Z_{\dot{\alpha}} = -\frac{1}{m} \frac{\partial L}{\partial \dot{\alpha}}$$

- E sabendo que as outras derivadas de L são nulas, tem-se:

$$\nabla_{\dot{X}} L = m[0 \ 0 \ -Z_{\dot{\alpha}} \ 0 \ 0 \ 0 \ 0 \ 0 \ 0]$$



Linearização

- As derivadas de forças e momentos aerodinâmicos existentes são chamadas de derivadas aerodinâmicas dimensionais
- Para simplificar a aparência da fórmula, serão criadas variáveis que representam essas derivadas. Uma tabela com variáveis referentes a forças se encontra no próximo slide. Nomenclatura:
- Nome da variável: X, Y, Z, indica que é uma força no eixo X, Y ou Z (S_W)
- Subscrito $\alpha, \beta, \delta_e, p$, etc: a variável foi derivada em relação ao subscrito.
- Multiplica-se a derivada dimensional pelo seu subscrito. Por exemplo: $X_\alpha \alpha$, $X_{\delta_e} \delta_e$
- O valor das derivadas dimensionais foi obtido previamente, por exemplo, via experimentos.
- Se derivada não está listada na tabela a seguir, assumir derivada nula.

Derivadas dimensionais de força no eixo do vento

TABLE 2.5-1. The Force Dimensional Derivatives (Wind Axes)

X-Axis	Y-Axis	Z-Axis
$X_v = -\frac{1}{m} \frac{\partial D}{\partial V_T}$	$Y_\beta = \frac{1}{m} \left(\frac{\partial Y}{\partial \beta} - D \right)$	$Z_v = -\frac{1}{m} \frac{\partial L}{\partial V_T}$
$X_{T_v} = \frac{1}{m} \frac{\partial F_T}{\partial V_T}$	$Y_p = \frac{1}{m} \frac{\partial Y}{\partial P_w}$	$Z_\alpha = -\frac{1}{m} \left(D + \frac{\partial L}{\partial \alpha} \right)$
$X_\alpha = \frac{1}{m} \left(L - \frac{\partial D}{\partial \alpha} \right)$	$Y_r = \frac{1}{m} \frac{\partial Y}{\partial R_w}$	$Z_{\dot{\alpha}} = -\frac{1}{m} \frac{\partial L}{\partial \dot{\alpha}}$
$X_{\delta e} = -\frac{1}{m} \frac{\partial D}{\partial \delta e}$	$Y_{\delta r} = \frac{1}{m} \frac{\partial Y}{\partial \delta r}$	$Z_q = -\frac{1}{m} \frac{\partial L}{\partial Q_w}$
$X_{\delta th} = \frac{1}{m} \frac{\partial F_T}{\partial \delta th}$	$Y_{\delta a} = \frac{1}{m} \frac{\partial Y}{\partial \delta a}$	$Z_{\delta e} = -\frac{1}{m} \frac{\partial L}{\partial \delta e}$

Linearização

- Derivadas de força

$$-\begin{bmatrix} \nabla_{\dot{x}} f_1 \\ \nabla_{\dot{x}} f_2 \\ \nabla_{\dot{x}} f_3 \end{bmatrix}_{\mathbf{x}=\mathbf{x}_e} = \begin{bmatrix} m\nabla_{\dot{x}} \dot{V}_T + \nabla_{\dot{x}} D \\ mV_T \nabla_{\dot{x}} \dot{\beta} - \nabla_{\dot{x}} Y \\ mV_T \nabla_{\dot{x}} \dot{\alpha} + \nabla_{\dot{x}} L \end{bmatrix}$$

- Usando derivadas definidas na tabela:

$$-\begin{bmatrix} \nabla_{\dot{x}} f_1 \\ \nabla_{\dot{x}} f_2 \\ \nabla_{\dot{x}} f_3 \end{bmatrix}_{\mathbf{x}=\mathbf{x}_e} = m \begin{bmatrix} 1 & 0 & 0 & 0 & 0 & 0 & 0 & 0 & 0 \\ 0 & V_T & 0 & 0 & 0 & 0 & 0 & 0 & 0 \\ 0 & 0 & V_T - Z_{\dot{\alpha}} & 0 & 0 & 0 & 0 & 0 & 0 \end{bmatrix}$$

- Veja que a equação acima diz que:

- $$E_{\dot{x}}(1:3,1:3) = m \begin{bmatrix} 1 & 0 & 0 \\ 0 & V_T & 0 \\ 0 & 0 & V_T - Z_{\dot{\alpha}} \end{bmatrix} \begin{bmatrix} \dot{V}_T \\ \dot{\beta} \\ \dot{\alpha} \end{bmatrix}$$



Linearização

$$\begin{aligned} m\dot{V}_T &= F_T \cos \alpha \cos \beta - D + mg_1 \\ m\dot{\beta}V_T &= -F_T \cos \alpha \sin \beta + Y - mV_T R_W + mg_2 \\ m\dot{\alpha}V_T \cos \beta &= -F_T \sin \alpha - L + mV_T Q_W + mg_3, \end{aligned}$$

- Derivando em função dos estados:

$$\left[\begin{array}{c} \nabla_X f_1 \\ \nabla_X f_2 \\ \nabla_X f_3 \end{array} \right]_{\substack{\mathbf{x}=\mathbf{x}_e \\ \mathbf{u}=\mathbf{u}_e}} = \left[\begin{array}{c} -F_T \sin \alpha \nabla_X \alpha + \cos \alpha \nabla_X F_T - \nabla_X D - mg'_0 \cos \gamma (\nabla_X \theta - \nabla_X \alpha) \\ -F_T \cos \alpha \nabla_X \beta + \nabla_X Y - mV_T \nabla_X R_W + mg'_0 (\sin \gamma \nabla_X \beta + \cos \theta \nabla_X \phi) \\ -F_T \cos \alpha \nabla_X \alpha - \sin \alpha \nabla_X F_T - \nabla_X L + mV_T \nabla_X Q_W + mg'_0 (\sin \gamma \nabla_X \alpha - \sin \gamma \nabla_X \theta) \end{array} \right]$$

- Obs: veja que, por exemplo

$$\nabla_X(m\dot{\beta}V_T) = m\dot{\beta}\nabla_X V_T = \mathbf{0}_{n \times 1}, \text{ pois } \dot{\beta} = 0$$

$$\mathbf{X}^T = [V_T \quad \beta \quad \alpha \quad \phi \quad \theta \quad \psi \quad P_W \quad Q_W \quad R_W]$$

Linearização

- Usando o modelo não linear desacoplado

$$m\dot{V}_T = F_T \cos \alpha - D - mg'_0 \sin \gamma$$

$$m\dot{\beta}V_T = Y - mV_TR_W$$

$$m\dot{\alpha}V_T = -F_T \sin \alpha - L + mV_TQ_W + mg'_0 \cos \gamma$$

- E a condição:

$$\beta, \phi, P, Q, R \equiv 0 \quad \text{all derivatives} \equiv 0$$

- Obtém-se, por exemplo, da 3ª equação:

$$0 = -F_T \sin \alpha - L + mg'_0 \cos \gamma \rightarrow F_T \sin \alpha = mg'_0 \cos \gamma - L$$

- A primeira equação do gradiente:

- É reescrita como:

$$-F_T \sin \alpha \nabla_X \alpha + \cos \alpha \nabla_X F_T - \nabla_X D - mg'_0 \cos \gamma (\nabla_X \theta - \nabla_X \alpha)$$

- α_e, γ_e : valores de equilíbrio

$$\cos \alpha_e \nabla_X F_T + L \nabla_X \alpha - \nabla_X D - mg'_0 \cos \gamma_e \nabla_X \theta$$

Linearização

- De forma similar, obtém-se:

$$\begin{bmatrix} \nabla_X f_1 \\ \nabla_X f_2 \\ \nabla_X f_3 \end{bmatrix}_{\substack{\mathbf{X}=\mathbf{X}_e \\ \mathbf{U}=\mathbf{U}_e}} = \begin{bmatrix} \cos \alpha_e \nabla_X F_T + L \nabla_X \alpha - \nabla_X D - mg'_0 \cos \gamma_e \nabla_X \theta \\ \nabla_X Y - D \nabla_X \beta - m V_T \nabla_X R_W + mg'_0 \cos \theta_e \nabla_X \phi \\ -\sin \alpha_e \nabla_X F_T - \nabla_X L - D \nabla_X \alpha + m V_T \nabla_X Q_W - mg'_0 \sin \gamma_e \nabla_X \theta \end{bmatrix}$$

- Que pode ser escrito utilizando as derivadas dimensionais

$$m \begin{bmatrix} X_V + X_{T_V} \cos \alpha_e & 0 & X_\alpha & 0 & -g'_0 \cos \gamma_e & 0 & 0 & 0 & 0 \\ 0 & Y_\beta & 0 & g'_0 \cos \theta_e & 0 & 0 & Y_p & 0 & Y_r - V_T \\ Z_V - X_{T_V} \sin \alpha_e & 0 & Z_\alpha & 0 & -g'_0 \sin \gamma_e & 0 & 0 & V_T + Z_q & 0 \end{bmatrix}$$

- Obs:

$$\mathbf{X}^T = [V_T \quad \beta \quad \alpha \quad \phi \quad \theta \quad \psi \quad P_W \quad Q_W \quad R_W]$$

Linearização

$$m\dot{V}_T = F_T \cos \alpha \cos \beta - D + mg_1$$

$$m\dot{\beta}V_T = -F_T \cos \alpha \sin \beta + Y - mV_T R_W + mg_2$$

$$m\dot{\alpha}V_T \cos \beta = -F_T \sin \alpha - L + mV_T Q_W + mg_3,$$

- Por fim:

$$\begin{bmatrix} \nabla_U f_1 \\ \nabla_U f_2 \\ \nabla_U f_3 \end{bmatrix} = \begin{bmatrix} \cos \alpha \nabla_U F_T - \nabla_U D \\ \nabla_U Y \\ -\sin \alpha \nabla_U F_T - \nabla_U L \end{bmatrix}$$

$$\begin{bmatrix} \nabla_U f_1 \\ \nabla_U f_2 \\ \nabla_U f_3 \end{bmatrix}_{\substack{\mathbf{x}=\mathbf{x}_e \\ \mathbf{U}=\mathbf{U}_e}} = m \begin{bmatrix} X_{\delta th} \cos \alpha_e & X_{\delta e} & 0 & 0 \\ 0 & 0 & Y_{\delta a} & Y_{\delta r} \\ -X_{\delta th} \sin \alpha_e & Z_{\delta e} & 0 & 0 \end{bmatrix}$$

$$\mathbf{U}^T = [\text{thl} \quad \text{el} \quad \text{ail} \quad \text{rdr}]$$

- Veja que sinal de controle afeta apenas forças e momentos aerodinâmicos e propulsivos



Linearização

- Derivadas do ângulo de Euler

$$\frac{d}{dt} \begin{bmatrix} \phi \\ \theta \\ \psi \end{bmatrix} = \begin{bmatrix} 1 & \tan \theta \sin \phi & \tan \theta \cos \phi \\ 0 & \cos \phi & -\sin \phi \\ 0 & \frac{\sin \phi}{\cos \theta} & \frac{\cos \phi}{\cos \theta} \end{bmatrix} \begin{bmatrix} P \\ Q \\ R \end{bmatrix}$$

$$\frac{d}{dt} \begin{bmatrix} \phi \\ \theta \\ \psi \end{bmatrix} = \begin{bmatrix} 1 & \tan \theta \sin \phi & \tan \theta \cos \phi \\ 0 & \cos \phi & -\sin \phi \\ 0 & \frac{\sin \phi}{\cos \theta} & \frac{\cos \phi}{\cos \theta} \end{bmatrix} D_b^W \begin{bmatrix} P_W \\ Q_W \\ R_W \end{bmatrix}$$



Linearização

- Considerando $\beta = 0$

$$\begin{bmatrix} \dot{\phi} \\ \dot{\theta} \\ \dot{\psi} \end{bmatrix} = \begin{bmatrix} \cos \alpha + \tan \theta \cos \phi \sin \alpha & \tan \theta \sin \phi & -\sin \alpha + \tan \phi \cos \phi \cos \alpha \\ -\sin \phi \sin \alpha & \cos \phi & -\sin \phi \cos \alpha \\ \frac{\cos \phi \sin \alpha}{\cos \theta} & \frac{\sin \phi}{\cos \theta} & \frac{\cos \phi \cos \alpha}{\cos \theta} \end{bmatrix} \begin{bmatrix} P_W \\ Q_W \\ R_W \end{bmatrix}$$

- Derivada em função da derivada do vetor de estados

$$-\begin{bmatrix} \nabla_{\dot{x}} f_4 \\ \nabla_{\dot{x}} f_5 \\ \nabla_{\dot{x}} f_6 \end{bmatrix} = \begin{bmatrix} 0 & 0 & 0 & 1 & 0 & 0 & 0 & 0 & 0 \\ 0 & 0 & 0 & 0 & 1 & 0 & 0 & 0 & 0 \\ 0 & 0 & 0 & 0 & 0 & 1 & 0 & 0 & 0 \end{bmatrix}$$

- Derivada em função de sinais de controle: nula (sinal de controle afeta apenas forças e momentos aerodinâmicos e propulsivos)

Linearização

$$\begin{bmatrix} \dot{\phi} \\ \dot{\theta} \\ \dot{\psi} \end{bmatrix} = \begin{bmatrix} \cos \alpha + \tan \theta \cos \phi \sin \alpha & \tan \theta \sin \phi & -\sin \alpha + \tan \phi \cos \phi \cos \alpha \\ -\sin \phi \sin \alpha & \cos \phi & -\sin \phi \cos \alpha \\ \frac{\cos \phi \sin \alpha}{\cos \theta} & \frac{\sin \phi}{\cos \theta} & \frac{\cos \phi \cos \alpha}{\cos \theta} \end{bmatrix} \begin{bmatrix} P_W \\ Q_W \\ R_W \end{bmatrix}$$

- Veja que é derivada da matriz vezes vetor + matriz vezes derivada do vetor. Porém, o vetor é nulo no regime de voo estudado. Então, resta apenas matriz (com restrições do problema) vezes gradiente.
- Derivadas em função do vetor de estados

$$\begin{bmatrix} \nabla_X f_4 \\ \nabla_X f_5 \\ \nabla_X f_6 \end{bmatrix}_{\substack{\mathbf{x}=\mathbf{x}_e \\ \mathbf{u}=\mathbf{u}_e}} = \begin{bmatrix} 0 & 0 & 0 & 0 & 0 & 0 & \frac{\cos \gamma_e}{\cos \theta_e} & 0 & \frac{\sin \gamma_e}{\cos \theta_e} \\ 0 & 0 & 0 & 0 & 0 & 0 & 0 & 1 & 0 \\ 0 & 0 & 0 & 0 & 0 & 0 & \frac{\sin \alpha_e}{\cos \theta_e} & 0 & \frac{\cos \alpha_e}{\cos \theta_e} \end{bmatrix}$$

$$\mathbf{X}^T = [V_T \quad \beta \quad \alpha \quad \phi \quad \theta \quad \psi \quad P_W \quad Q_W \quad R_W]$$



Linearização

TABLE 2.5-2. The Moment Dimensional Derivatives (Wind Axes)

Roll	Pitch	Yaw
$L_{\beta} = \frac{1}{J'_X} \frac{\partial \bar{L}_{W_A}}{\partial \beta}$	$M_V = \frac{1}{J'_Y} \frac{\partial M_{W_A}}{\partial V_T}$	$N_{\beta} = \frac{1}{J'_Z} \frac{\partial N_{W_A}}{\partial \beta}$
$L_p = \frac{1}{J'_X} \frac{\partial \bar{L}_{W_A}}{\partial P_W}$	$M_{\alpha} = \frac{1}{J'_Y} \frac{\partial M_{W_A}}{\partial \alpha}$	$N_p = \frac{1}{J'_Z} \frac{\partial N_{W_A}}{\partial P_W}$
$L_r = \frac{1}{J'_X} \frac{\partial \bar{L}_{W_A}}{\partial R_W}$	$M_{\dot{\alpha}} = \frac{1}{J'_Y} \frac{\partial M_{W_A}}{\partial \dot{\alpha}}$	$N_r = \frac{1}{J'_Z} \frac{\partial N_{W_A}}{\partial R_W}$
$L_{\delta a} = \frac{1}{J'_X} \frac{\partial \bar{L}_{W_A}}{\partial \text{ail}}$	$M_q = \frac{1}{J'_Y} \frac{\partial M_{W_A}}{\partial Q_W}$	$N_{\delta a} = \frac{1}{J'_Z} \frac{\partial N_{W_A}}{\partial \text{ail}}$
$L_{\delta r} = \frac{1}{J'_X} \frac{\partial \bar{L}_{W_A}}{\partial \text{rdr}}$	$M_{\delta e} = \frac{1}{J'_Y} \frac{\partial M_{W_A}}{\partial \text{el}}$	$N_{\delta r} = \frac{1}{J'_Z} \frac{\partial N_{W_A}}{\partial \text{rdr}}$
	$M_{T_V} = \frac{1}{J'_Y} \frac{\partial M_{W_T}}{\partial V_T}$	$N_{T_{\beta}} = \frac{1}{J'_Z} \frac{\partial N_{W_T}}{\partial \beta}$
	$M_{T_{\alpha}} = \frac{1}{J'_Y} \frac{\partial M_{W_T}}{\partial \alpha}$	
	$M_{\delta \text{th}} = \frac{1}{J'_Y} \frac{\partial M_{W_A}}{\partial \text{thl}}$	

Linearização

- Derivadas do momento

$$-\begin{bmatrix} \nabla_{\dot{X}} f_7 \\ \nabla_{\dot{X}} f_8 \\ \nabla_{\dot{X}} f_9 \end{bmatrix}_{\substack{\mathbf{x}=\mathbf{x}_e \\ \mathbf{u}=\mathbf{u}_e}} = \begin{bmatrix} 0 & 0 & 0 & 0 & 0 & 0 & 1 & 0 & 0 \\ 0 & 0 & -M_{\dot{\alpha}} & 0 & 0 & 0 & 0 & 1 & 0 \\ 0 & 0 & 0 & 0 & 0 & 0 & 0 & 0 & 1 \end{bmatrix}$$

$$\begin{bmatrix} \nabla_X f_7 \\ \nabla_X f_8 \\ \nabla_X f_9 \end{bmatrix}_{\substack{\mathbf{x}=\mathbf{x}_e \\ \mathbf{u}=\mathbf{u}_e}} = \begin{bmatrix} 0 & \mu L_\beta + \sigma N_\beta + \nu M_T & 0 & 0 & 0 & 0 & \mu L_p + \sigma N_p & 0 & \mu L_r + \sigma N_r \\ M_V + M_{TV} & 0 & M_\alpha & 0 & 0 & 0 & 0 & M_q & 0 \\ 0 & \mu N_\beta + \sigma L_\beta & 0 & 0 & 0 & 0 & \mu N_p + \sigma L_p & 0 & \mu N_r + \sigma L_r \end{bmatrix}$$

$$\begin{bmatrix} \nabla_U f_7 \\ \nabla_U f_8 \\ \nabla_U f_9 \end{bmatrix}_{\substack{\mathbf{x}=\mathbf{x}_e \\ \mathbf{u}=\mathbf{u}_e}} = \begin{bmatrix} 0 & 0 & \mu L_{\delta a} + \sigma N_{\delta a} & \mu L_{\delta r} + \sigma N_{\delta r} \\ M_{\delta th} & M_{\delta e} & 0 & 0 \\ 0 & 0 & \mu N_{\delta a} + \sigma L_{\delta a} & \mu N_{\delta r} + \sigma L_{\delta r} \end{bmatrix}$$

$$\mathbf{X}^T = [V_T \quad \beta \quad \alpha \quad \phi \quad \theta \quad \psi \quad P_W \quad Q_W \quad R_W]$$

$$\mathbf{U}^T = [\text{thl} \quad \text{el} \quad \text{ail} \quad \text{rdr}] \quad \mu = \frac{J'_Z J'_X}{\Gamma}, \quad \sigma = \frac{J'_Z J'_{XZ}}{\Gamma}, \quad \nu = \frac{J'_Z}{\Gamma}$$

Modelo linear longitudinal

- Avaliando a linearização, percebe-se que existem dois conjuntos de equações desacoplados, que podem ser resolvidos independentemente.
- Modelo longitudinal:

$$\mathbf{x}^T = [v_T \quad \alpha \quad \theta \quad q], \quad \mathbf{u}^T = [\delta_{th} \quad \delta_e]$$

$$E = \begin{bmatrix} 1 & 0 & 0 & 0 \\ 0 & V_T - Z_{\dot{\alpha}} & 0 & 0 \\ 0 & 0 & 1 & 0 \\ 0 & -M_{\dot{\alpha}} & 0 & 1 \end{bmatrix}, \quad B = \begin{bmatrix} X_{\delta_{th}} \cos \alpha_e & X_{\delta_e} \\ -X_{\delta_{th}} \sin \alpha_e & Z_{\delta_e} \\ 0 & 0 \\ M_{\delta_{th}} & M_{\delta_e} \end{bmatrix}$$

$$A = \begin{bmatrix} X_V + X_{T_V} \cos \alpha_e & X_{\alpha} & -g'_0 \cos \gamma_e & 0 \\ Z_V - X_{T_V} \sin \alpha_e & Z_{\alpha} & -g'_0 \sin \gamma_e & V_T + Z_q \\ 0 & 0 & 0 & 1 \\ M_V + M_{T_V} & M_{\alpha} & 0 & M_q \end{bmatrix}$$

- E é não singular se V_T for suficientemente grande, então uma função explícita pode ser encontrada.
- Veja que \mathbf{x} é uma perturbação que deve ser adicionada ao estado \mathbf{X} do voo em regime permanente.

Modelo linear látero-direcional

- Modelo látero-direcional

$$\mathbf{x}^T = [\beta \quad \phi \quad p_W \quad r_W], \quad \mathbf{u}^T = [\delta_a \quad \delta_r]$$

- Veja que ψ foi omitido pois direção não afeta a dinâmica do avião

$$E = \begin{bmatrix} V_T & 0 & 0 & 0 \\ 0 & 1 & 0 & 0 \\ 0 & 0 & 1 & 0 \\ 0 & 0 & 0 & 1 \end{bmatrix}, \quad B = \begin{bmatrix} Y_{\delta a} & Y_{\delta r} \\ 0 & 0 \\ L'_{\delta a} & L'_{\delta r} \\ N'_{\delta a} & N'_{\delta r} \end{bmatrix}$$

$$A = \begin{bmatrix} Y_\beta & g'_0 \cos \theta_e & Y_p & Y_r - V_T \\ 0 & 0 & \frac{\cos \gamma_e}{\cos \theta_e} & \frac{\sin \gamma_e}{\cos \theta_e} \\ L'_\beta & 0 & L'_p & L'_r \\ N'_\beta & 0 & N'_p & N'_r \end{bmatrix}$$

$$L'_\beta = \mu L_\beta + \sigma N_\beta \quad L'_p = \mu L_p + \sigma N_p$$

$$N'_\beta = \mu N_\beta + \sigma L_\beta \quad N'_p = \mu N_p + \sigma L_p$$

$$L'_{\delta a} = \mu L_{\delta a} + \sigma N_{\delta a} \quad L'_{\delta r} = \mu L_{\delta r} + \sigma N_{\delta r}$$

$$N'_{\delta a} = \mu N_{\delta a} + \sigma L_{\delta a} \quad N'_{\delta r} = \mu N_{\delta r} + \sigma L_{\delta r}$$

$$L'_r = \mu L_r + \sigma N_r$$

$$N'_r = \mu N_r + \sigma L_r$$

$$\mu = \frac{J'_Z J'_X}{\Gamma}, \quad \sigma = \frac{J'_Z J'_{XZ}}{\Gamma}, \quad \nu = \frac{J'_Z}{\Gamma}$$



Derivadas adimensionais de estabilidade e controle

- As derivadas dimensionais são aplicadas diretamente no modelo de espaço de estados, o que é conveniente para um uso imediato.
- Porém, é muito restrito, pois assume uma aeronave com forma e tamanho pré-definidos, e uma condição de voo bem definida. Veja que não é trivial de modificar o modelo em espaço de estados quando se quer:
- Avaliar efeitos de pequenas mudanças geométricas: aumento da envergadura, mudança na área da asa
- Obter um modelo da aeronave real a partir da análise em escala
- Avaliar efeitos na mudança do regime em um mesmo modo de voo. Por exemplo, mantendo o voo retilíneo e uniforme, o que acontece se:
 - Aumentamos a velocidade de referência?
 - A pressão do ar muda devido à mudança na altitude de referência?



Derivadas adimensionais de estabilidade e controle

- Dessa forma, redefinem-se as coeficientes aerodinâmicas de forma que se mantenham o mais constantes possíveis, mesmo sob a variação de certos parâmetros do voo.
- Nós já estudamos coeficientes adimensionais antes:

drag, $D = \bar{q}SC_D$	$\bar{q} \equiv \frac{1}{2}\rho V_T^2$
lift, $L = \bar{q}SC_L$	\bar{q} = free-stream dynamic pressure
sideforce, $Y = \bar{q}SC_Y$	S = wing reference area
rolling moment, $\bar{L} = \bar{q}SbC_l$	b = wing span
pitching moment, $M = \bar{q}S\bar{c}C_M$	\bar{c} = wing mean geometric chord.
yawing moment, $N = \bar{q}SbC_N$,	

$$C_D \equiv C_D(C_L) + \Delta C_D(\text{el}) + \Delta C_D(\beta) + \Delta C_D(M) + \dots$$

Derivadas adimensionais de estabilidade e controle

- Usando esses coeficientes, podemos transformar as derivadas dimensionais. Exemplo:

$$X_V = -\frac{1}{m} \frac{\partial D}{\partial V_T} \quad D = \bar{q} S C_D \quad \bar{q} \equiv \frac{1}{2} \rho V_T^2$$

- Assim:

$$X_V = -\frac{1}{m} \frac{\partial}{\partial V_T} \left(\frac{1}{2} \rho V_T^2 S C_D \right) = -\frac{\rho S}{2m} \left(2V_T C_D + V_T^2 \frac{\partial C_D}{\partial V_T} \right)$$

$$X_V = -\frac{1}{2} \rho V_T \frac{S}{m} \left(2C_D + V_T \frac{\partial C_D}{\partial V_T} \right)$$

$$X_V = -\frac{\bar{q} S}{m V_T} (2C_D + C_{D_V}), \quad C_{D_V} = V_T \frac{\partial C_D}{\partial V_T}$$

- Demonstração similar pode ser feita para outros coeficientes

Derivadas adimensionais – movimento longitudinal

$$X_V = -\frac{\bar{q}S}{mV_T}(2C_D + C_{D_V}), \quad C_{D_V} \equiv V_T \frac{\partial C_D}{\partial V_T}$$

$$X_\alpha = \frac{\bar{q}S}{m}(C_L - C_{D_\alpha}), \quad C_{D_\alpha} \equiv \frac{\partial C_D}{\partial \alpha}$$

$$X_{\delta e} = -\frac{\bar{q}S}{m}C_{D_{\delta e}}, \quad C_{D_{\delta e}} \equiv \frac{\partial C_D}{\partial \epsilon}$$

$$Z_V = -\frac{\bar{q}S}{mV_T}(2C_L + C_{L_V}), \quad C_{L_V} \equiv V_T \frac{\partial C_L}{\partial V_T}$$

$$Z_\alpha = -\frac{\bar{q}S}{m}(C_D + C_{L_\alpha}), \quad C_{L_\alpha} \equiv \frac{\partial C_L}{\partial \alpha}$$

$$Z_{\dot{\alpha}} = -\frac{\bar{q}S\bar{c}}{2mV_T}C_{L_{\dot{\alpha}}}, \quad C_{L_{\dot{\alpha}}} \equiv \frac{2V_T}{\bar{c}} \frac{\partial C_L}{\partial \dot{\alpha}}$$

$$Z_q = -\frac{\bar{q}S\bar{c}}{2mV_T}C_{L_q}, \quad C_{L_q} \equiv \frac{2V_T}{\bar{c}} \frac{\partial C_L}{\partial Q}$$

$$Z_{\delta e} = -\frac{\bar{q}S}{m}C_{L_{\delta e}}, \quad C_{L_{\delta e}} \equiv \frac{\partial C_L}{\partial \epsilon}$$

$$M_V = \frac{\bar{q}S\bar{c}}{J_Y V_T}(2C_M + C_{m_V}), \quad C_{m_V} \equiv V_T \frac{\partial C_M}{\partial V_T}$$

$$M_\alpha = \frac{\bar{q}S\bar{c}}{J_Y}C_{m_\alpha}, \quad C_{m_\alpha} \equiv \frac{\partial C_M}{\partial \alpha}$$

$$M_{\dot{\alpha}} = \frac{\bar{q}S\bar{c}}{J_Y} \frac{\bar{c}}{2V_T}C_{m_{\dot{\alpha}}}, \quad C_{m_{\dot{\alpha}}} \equiv \frac{2V_T}{\bar{c}} \frac{\partial C_M}{\partial \dot{\alpha}}$$

$$M_q = \frac{\bar{q}S\bar{c}}{J_Y} \frac{\bar{c}}{2V_T}C_{m_q}, \quad C_{m_q} \equiv \frac{2V_T}{\bar{c}} \frac{\partial C_M}{\partial Q}$$

$$M_{\delta e} = \frac{\bar{q}S\bar{c}}{J_Y}C_{m_{\delta e}}, \quad C_{m_{\delta e}} \equiv \frac{\partial C_M}{\partial \epsilon}$$

Derivadas adimensionais de estabilidade e controle

- As derivadas adimensionais são a linearização do coeficiente adimensional.
Exemplo:

$$\begin{bmatrix} C_D \\ C_L \\ C_m \end{bmatrix} = \begin{bmatrix} C_{D0} & C_{D\alpha} & C_{Dq} & C_{D\delta E} \\ C_{L0} & C_{L\alpha} & C_{Lq} & C_{L\delta E} \\ C_{m0} & C_{m\alpha} & C_{mq} & C_{m\delta E} \end{bmatrix} \begin{bmatrix} 1 \\ \alpha \\ \frac{\bar{c}}{2V} q \\ \delta_E \end{bmatrix}$$

$$\begin{bmatrix} C_Y \\ C_l \\ C_n \end{bmatrix} = \begin{bmatrix} C_{Y0} & C_{Y\beta} & C_{Yp} & C_{Yr} & C_{Y\delta A} & C_{Y\delta R} \\ C_{l0} & C_{l\beta} & C_{lp} & C_{lr} & C_{l\delta A} & C_{l\delta R} \\ C_{n0} & C_{n\beta} & C_{np} & C_{nr} & C_{n\delta A} & C_{n\delta R} \end{bmatrix} \begin{bmatrix} 1 \\ \beta \\ \frac{b}{2V} p \\ \frac{b}{2V} r \\ \delta_A \\ \delta_R \end{bmatrix}$$



Derivadas adimensionais de estabilidade e controle

- Alguns coeficientes do movimento longitudinal:
- $C_{L\alpha}$: inclinação da curva de sustentação. Relaciona mudanças no ângulo de ataque e aceleração vertical. Afeta manobrabilidade e resposta à turbulência (turbulência afeta o ângulo de ataque ao mudar direção do fluxo de ar)
- $C_{M\alpha}$: pitch stiffness: valor negativo indica estabilidade. Levemente positivo ainda permite o voo, mas sobrecarrega o piloto. Efeito de “mola”: torque restaurador para posição de equilíbrio
- $C_{Mq}, C_{M\dot{\alpha}}$: efeito amortecedor: torque no sentido oposto ao movimento. Usualmente $C_{Mq} \gg C_{M\dot{\alpha}}$
- C_{MV} : se positivo, aeronave levanta o nariz ao acelerar, o que aumenta o arrasto e a componente da gravidade no eixo x, se opondo ao movimento (estabilidade). Ao aumentar o Mach, C_{MV} diminui, podendo ficar negativo, instabilizando a velocidade. Por outro lado, aumento excessivo no arrasto devido ao aumento do nº de Mach compensa efeito

Derivadas adimensionais de estabilidade e controle

- Alguns coeficientes do movimento látero-direcional
- $C_{Y\beta}$: força lateral devido à derrapagem
- $C_{l\beta}$: momento de rolagem devido à derrapagem. Derivada de diedro. Negativa indica roll stiffness (estabilidade em rolamento), mas pode ser levemente positiva. Afeta o modo espiral (estudaremos em breve)
- $C_{n\beta}$: momento de guinada devido à derrapagem. Efeito weathercock ou yaw stiffness. Positivo para estabilidade. Tende a ficar negativo em regime transônico/supersônico, ou se o ângulo de ataque é muito elevado. Em um projeto de um novo avião, o ajuste inicial do tamanho da empenagem vertical é determinado pelo valor desejado de $C_{n\beta}$
- C_{lp}, C_{nr} : amortecimento no sentido oposto ao movimento de rotação
- C_{np}, C_{lr} : efeito cruzado, causado pelo acoplamento entre movimentos de rolagem